# 基干改进 LSTM 的数字媒体网络视频通信流量预测方法

崔 健¹ 张梦榛¹ CUI Jian ZHANG Mengzhen

#### 摘 要

受多源异构环境干扰,数字媒体网络视频通信流量存在大量噪声,不同时间节点的流量特征呈现非线性独立性,常用模型难以捕捉其变化规律,提取自相关特征,导致通信流量预测效果不佳。为此,文章提出一种基于改进 LSTM 的数字媒体网络视频通信流量预测方法。利用小波变换消除原始流量数据中的噪声信号,并基于自相关函数计算不同时间点流量的相关性,结合拓扑图帧映射技术,提取流量数据的自相关性特征。将自相关性特征作为预测模型输入,引入注意力机制为 LSTM 的参数分配权重,建立多因子变量与预测值之间的非线性关系,并利用历史数据对网络模型进行持续参数调优与更新,实现通信流量动态预测。实验结果表明,采用该方法预测数字媒体网络视频通信流量时,所得决定系数均高于0.8,表明预测值与实测值之间具有较高的拟合度,预测精度较高,应用效果较好。

# 关键词

改进 LSTM; 数字媒体; 网络视频通信; 流量预测; 预测模型

doi: 10.3969/j.issn.1672-9528.2025.06.016

## 0 引言

随着 5G、物联网和云计算等技术的普及,网络环境变得更加复杂,视频通信流量的波动性和不确定性显著增加,传统的流量预测方法难以应对这种非线性和非平稳性的数据特征,导致预测精度不足,影响网络资源的优化配置和服务质量。在此背景下,研究数字媒体网络视频通信流量预测具有重要的现实意义。首先,精准的流量预测能够帮助网络运

1. 黄河水利职业技术大学信息工程学院 河南开封 475001

营商和服务提供商更好地规划网络资源,避免带宽浪费或网络拥塞,提升用户体验;其次,通过预测流量的动态变化,可为网络优化、负载均衡和故障预警提供科学依据,增强网络的稳定性和可靠性;最后,高效的流量预测技术还能为新兴应用场景提供技术支撑,推动数字媒体产业的创新发展。

近年来,众多学者针对网络视频通信流量提出了多种预测方法。文献[1]先通过自动编码器融合自注意力与双注意力机制,以减少模型内存开销并提高预测性能,后结合流量变化特征实现流量预测。该方法并未对多源异构环境对数据

- [6] 余超群, 蔡建国, 宋道斌, 等. 基于快速链路动态感知的多路分流算法[J]. 无线电通信技术, 2023, 49(5):979-986.
- [7] 魏文佳. 基于 MPTCP 的多路径传输中的耦合拥塞控制和数据调度机制研究 [D]. 合肥: 中国科学技术大学,2020.
- [8]BAHNASSE A, LOUHAB F E, AIT OULAHYANE H, et al. Novel SDN architecture for smart MPLS traffic engineering-diffserv aware management[J]. Future generation computer systems, 2018, 87: 115-126.
- [9] 徐玉华, 孙知信. 软件定义网络中的异常流量检测研究进展 [J]. 软件学报, 2020, 31(1): 183-207.
- [10] CHANG Y C, LIN H T, CHU H M, et al. Efficient topology discovery for software-defined networks[J]. IEEE transactions on network and service management, 2021,18(2):1375-1388.
- [11] HA S, RHEE I, XU L S ,et al. CUBIC: a new TCP-friendly

- high-speed TCP variant[J]. ACM SIGOPS operating systems review, 2008, 42(5):64-74.
- [12] 杨晓. 基于 Ryu 控制器和生成树协议的环路避免系统研究 [D]. 成都: 西华大学,2019.

#### 【作者简介】

赵柏山(1980—), 男, 辽宁铁岭人, 博士, 副教授, 研究方向: 信号处理与保密通信。

秦旭升(2000—), 男, 湖南张家界人, 硕士研究生, 研究方向: 信号处理。

王庆祝(1991—),男,黑龙江五大连池人,硕士,工程师,研究方向:信号处理与保密通信。

(收稿日期: 2025-01-14 修回日期: 2025-06-03)

产生的噪声干扰进行处理,且在提取流量变化特征时主要关 注时间序列特征,缺乏对空间特征的有效提取,无法明晰流 量数据的自相关性特征,模型无法全面捕捉流量数据的动态 变化,预测结果不佳。文献[2]通过构建时空图,整合时空 特征,实现了对网络流量的预测。此方法能捕获交通数据的 局部和全局时空相关性,但同样未对多源异构环境对数据产 生的干扰进行处理,流量自相关特征提取不够准确,导致模 型无法全面描述流量数据的动态变化,难以得到理想的预测 结果。在该背景下,本文提出了一种基于改进 LSTM 的数字 媒体网络视频通信流量预测方法。该方法在模型结构优化、 特征提取机制方面进行了创新,即采用多尺度特征提取技术, 结合小波变换和自相关函数,从原始流量数据中提取出自相 似特征, 其包括多层次的时间特征和空间特征, 增强了模型 对复杂流量模式的理解能力:引入注意力机制对传统 LSTM 模型进行了改进, 使其能同时捕捉时间序列数据的前向和后 向依赖关系,从而更全面地理解流量变化的规律。通过上述, 分析视频通信流量的时间依赖性与潜在模式,以实现更准确、 更稳定的流量预测。

#### 1 数字媒体网络视频通信流量预测方法

#### 1.1 流量自相关性特征提取

数字媒体网络视频通信流量在传输分布上展现出时间序 列的特性,即流量数据在不同时间点间呈现出一定的关联性 或模式。为提升预测效果,关键在于识别并提取这些特征, 尤其是自相关性特征,这有助于深入理解流量的动态行为。 在多源异构网络环境下, 网络设备的异构性、数据传输的随 机性、用户行为的多样性以及外部环境的干扰导致原始流量 数据中包含大量噪声,这些噪声会干扰自相关性特征的提取。 因此,本次先采用小波变换方法对原始流量数据进行多尺度 变换,有效滤除噪声信号,该处理过程可表示为:

$$w_d = \left(a_0 - \beta / \exp\left(\frac{|X| - \beta}{N}\right)\right) \tag{1}$$

$$X = f(t) + \eta \cdot n \tag{2}$$

式中:  $a_0$ 表示流量中的噪声水平;  $\beta$ 表示负荷平均值正态分 布的过程残差值; X表示空间权重系数; N表示流量数据点 数量;  $w_d$ 表示小波系数; f(t)表示第 t 时间单位的流量;  $\eta$  表 示滤除阈值; n 表示相关值向量。

完成流量数据降噪处理后,将其整理为时间序列,采用 自相关函数计算时间序列中不同时间点之间的相关性[3]。公 式为:

$$r(j,k) = \frac{E[(x_t - \mu)(x_{t+1} - \mu)]}{w_d E[(x_t - \mu)^2]}$$
(3)

式中:  $x_t$ 表示 t 时刻网络流量的样本数;  $\mu$  表示时间序列的 均值;  $x_{t+k}$  表示下一时刻的流量样本数;  $E[\cdot]$  表示序列期望; r(i,k) 表示时间点 i 和 k 对应的流量数据的相关性。

为进一步直观展现不同时间点之间流量数据的相关性和 趋势,本次构建了图形结构如图1所示。

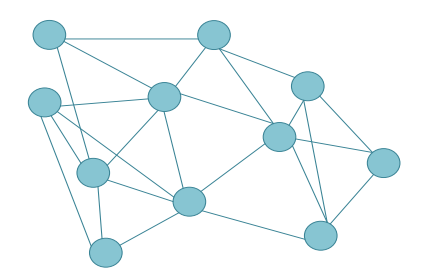


图 1 流量数据相关性图谱

在此结构中,每个节点代表一个特定的时间点,节点之 间的边反映了这些时间点之间数据的相关性。通过分析节点 之间的连接模式和图结构中边的权重分布, 识别出流量数据 的自相关性特征 V, 具体过程为:

$$G = \sum_{i=1}^{N} \sum_{j=1}^{N} w_{ij} v_i v_j^{\mathrm{T}}$$

$$\tag{4}$$

$$V = \arg\max\log P\mathbf{G} \cdot r(j,k)^{c} \tag{5}$$

式中: G代表图信号矩阵;  $w_{ii}$ 代表节点i和节点j之间的边 权重;  $v_i$ 、 $v_i$ 代表节点 i 和节点 j 的特征向量; P 表示时间序 列的方差; c表示时间常数。

综上,消除原始流量数据中的噪声,提取了通信流量的 自相关性特征,以为后续构建网络视频通信流量预测模型提 供条件。

## 1.2 基于改进 LSTM 构建通信流量预测模型

完成流量自相关性特征提取可以帮助人们理解流量的长 时依赖性和突发性,接下来,以提取的流量自相关特征为基 础,完成通信流量预测模型构建。网络视频通信流量受到用 户行为、时间段、视频内容等多种因素的影响, 展现出时间 依赖性以及复杂的空间特征, 在处理这种高度动态和非线性 的流量数据时,传统 LSTM 模型难以有效捕捉这些空间特征, 因此容易出现过拟合问题,导致模型的泛化能力下降。为此, 将自相关性特征作为预测模型输入,并引入了注意力机制改 进 LSTM, 并基于改进 LSTM 构建通信流量预测模型。

LSTM 遗忘门、输入门和输出门的表达式<sup>[4]</sup> 分别为:

$$f_0 = \delta (W_0 h_{t-1} + U_0 + b_0) \tag{6}$$

$$f_{1} = \delta \left( W_{1} h_{t-1} + U_{1} + b_{1} \right) \tag{7}$$

$$f_2 = \tan \delta (W_2 h_{t-1} + U_2 + b_2)$$
 (8)

式中: $\delta$ 表示流量分片的时间步长; $W_0$ 、 $W_1$ 、 $W_2$ 分别表示遗 忘门、输入门和输出门当前时刻的输入值; h, 表示前一时刻 网络的偏置项; U<sub>0</sub>、U<sub>1</sub>、U<sub>2</sub>分别表示遗忘门、输入门和输出 门的激励函数;  $b_0$ 、 $b_1$ 、 $b_2$ 均表示利用有效变换函数确定的 候选值;  $f_0$ 、 $f_1$ 、 $f_2$  分别表示遗忘门、输入门和输出门的序列 状态表达式。

为建立多因子变量与预测值之间的非线性关系,改进网 络结构,增强模型的拟合度<sup>[5]</sup>,引入注意力机制对 LSTM 的 参数进行权重赋值,其计算公式为:

$$L = -f_0 \log(y_a) - V(1 - f_1) \cdot \log(1 - f_2)$$
(9)

式中: $v_a$ 表示模型平方梯度的指数衰减平均值;V表示流量 序列的自相关性特征; L表示网络模型注意力分配系数。

将注意力机制与 LSTM 结合,改进后的 LSTM 模型能够 更好地捕捉流量数据的动态变化,其表达式为:

$$h_{t} = f_{0} f_{1} f_{2} (x_{t}, h_{t-1}) \cdot L \tag{10}$$

式中:  $h_t$ 表示时刻 t 的隐藏状态;  $x_t$ 表示时刻 t 的输入;  $h_{t-1}$ 表示前一时刻的隐藏状态。

通过引入注意力机制,模型能够动态调整对不同时间的 关注程度,更好地捕捉流量数据的复杂特性[6-8]。该模型训练 过程中,利用反向传播算法更新网络模型的权重和偏差值, 结合历史数据不断进行参数调优与更新,得到输出门值的权 重 $\boldsymbol{\omega}$ , 其表达式为:

$$\varpi = \lambda (D_0[L, K] + d) \cdot \tan h_t(\theta) \tag{11}$$

式中: $\lambda$ 表示均方根误差; $D_0$ 表示模型阶数;K表示模型损 失函数; d表示滞后变量; .9表示误差系数。

通过不断优化参数,模型能够更好地拟合数据,提升预 测精度。此外,为进一步提升其精度,使用均方根误差作为 损失函数,其计算公式为:

$$\lambda = \sqrt{\frac{1}{N} \sum_{i=1}^{N} (y_i - \hat{y}_i)^2}$$
 (12)

式中: $v_i$ 表示实际值; $\hat{y}_i$ 表示预测值;N表示样本数量。

完成改进 LSTM 通信流量预测模型构建后,以上文提取 的自相关性特征 1/为输入,捕捉流量数据的动态变化 [9-10], 生成准确的预测结果, 预测表达式为:

$$\hat{y}_t = \boldsymbol{\varpi} \cdot \boldsymbol{h}_t + \boldsymbol{b}_v \tag{13}$$

式中:  $\hat{y}_{t}$ 是预测值;  $b_{v}$ 是输出层的偏置项。

综上,完成数字媒体网络视频通信流量预测设计。

### 2 实例论证分析

#### 2.1 实验准备

本文通过监控网络流量和抓取视频传输数据包的方式 从实际的网络环境中获取大量的视频流量数据,具体包括以 1 min 时间间隔采样的历史流量数据、用户行为数据以及网 络特征数据。该数据集大小约为 10 GB, 包含数百万个数据

点,时长为1~10 min 不等,涵盖了不同的时间段和各种网 络环境。预处理后,将其转化为标准视频测试序列,以此对 提出的方法进行验证。原始网络视频流量的分布参数如表1 所示。

表 1 网络视频通信流量分布参数

参数	数据
视频分辨率	1 080 P
视频帧率	25 帧 /s
视频比特率 (码率)	3 500 kbit/s
用户数量	100 人
总带宽需求	1 260 Gbit/s
音频比特率	128 kbit/s
网络延迟	50 ms

实验硬件环境包括服务器、Catalyst 9300 千兆以太网交 换机和路由器; 软件环境包括 Ubuntu 20.04 LTS 操作系统和 scikit-learn 学习库以及 Catalyst 9300 可视化工具,以构建和 训练 LSTM 模型和绘制数据曲线与模型预测结果。实验平台 使用本地服务器进行模型训练和评估,借助阿里云进行大规 模数据集处理和模型部署。另外,本地服务器通过 SSH 连接 进行管理, 以确保实验环境的独立性和安全性。

基于表 1 所示的网络视频通信流量分布参数, 提取流 量数据间的序列自相关性特征,并以此构建LSTM预测模型, 该模型参数配置如表 2 所示。以此为基础实验过程为: (1) 使用网络流量监控方法收集流量数据,并使用 Pandas 进行 数据清理和预处理,包括缺失值处理、特征缩放等:(2) 在 TensorFlow 中构建一个改进的 LSTM 模型,引入注意力 机制来提高模型性能; (3) 使用训练集训练模型,并通过 调整学习率和批量大小等参数来优化其性能: (4)根据评 估结果调整模型参数和架构,并在测试集上评估最终模型, 以确保其在实际应用中的性能。

表 2 LATM 预测模型参数配置

参数	取值
输入特征的维度	26
隐藏层的特征数量	128
LSTM 堆叠的层数	2
学习率	0.001
列长度	100
批处理大小	32
训练轮数	20
输入层大小	50
时间窗口大小	5 min

# 2.2 网络视频通信流量预测结果

为直观展示提出网络视频通信流量预测方法的准确度, 采用文献[1]基于深度学习的预测方法(方法1)和文献[2] 基于时空融合的预测方法(方法2)与本文方法进行对比。 基于历史流量数据,分别采用3种方法对该网络通信系统的 实时视频流量进行预测,得到结果如图2所示。

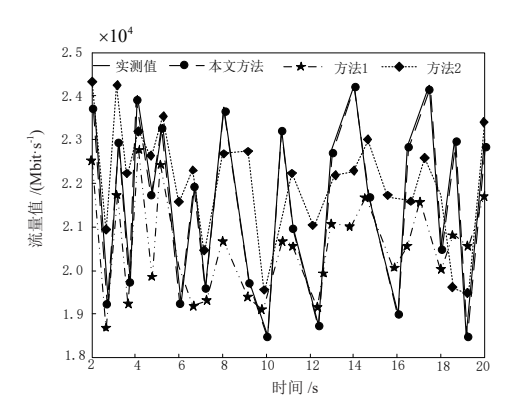


图 2 网络视频通信流量预测结果

从图 2 中可以看出,与本文方法相比,对照组方法预测的流量值与实测值之间存在较大误差,表明其在预测网络视频通信流量时存在一定的不准确性。这主要是由于网络视频通信流量具有复杂的非线性特征,而对照组方法无法有效捕捉这些特征,导致预测结果与实际值偏差显著。相比之下,本方法在不同时刻的预测值与实际值基本拟合,证明了其更高的预测精度。分析原因可知,本文方法通过动态分配权重、注意力机制使模型能够聚焦于对预测结果影响更大的特征,从而更准确地捕捉流量的非线性变化,因此预测精度较高。

为定量分析对照组方法与本文方法的预测性能,采用决定系数  $R^2$  来衡量网络视频通信流量预测值与实际值之间差异。 $R^2$  越接近于 1,预测值与实测值的拟合程度越高,预测精度也就越高。通过测试,得到对比结果如图 3 所示。

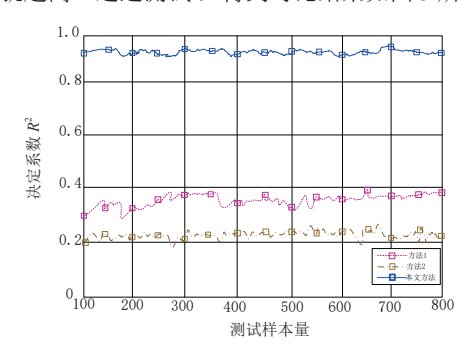


图 3 基于不同预测方法的决定系数对比结果

根据图 3 可以看出,应用本文方法进行网络视频通信流量预测,在 100~800 测试样本数量条件下,得到的决定系数均在 0.8 以上,表明本文方法在预测网络视频通信流量时具有更高的准确性,能够更好地捕捉流量的变化趋势。而对照组方法的决定系数普遍较低,表明预测值与实测值之间存在

一定的偏差,整体预测效果较差。由此可充分说明本方法在 网络视频通信流量预测精度方面的优异性能。分析原因可知, 由于本文方法引入了注意力机制,使流量预测模型能智能地 为不同输入特征分配权重,从而更精确地捕捉影响流量的关 键因素,提升预测准确度。

#### 3 结语

为实现对数字媒体网络视频通信流量的高精度预测,提升模型的预测性能和鲁棒性,本研究通过引入改进 LSTM 算法,结合流量自相关性特征的提取与模型构建,成功实现了对数字媒体网络视频通信流量的高精度预测。该方法的应用能够为网络服务提供商提供有力的数据支持,帮助其制定更为科学的流量管理策略,进而优化网络资源分配,保障视频通信的流畅与稳定。此外,该方法还为智能网络管理提供坚实的理论支撑与实践指导,对于推动数字媒体技术的进步及提升用户体验具有重要意义。

## 参考文献:

- [1] 刘洋, 廉咪咪. 基于深度学习的移动通信网络流量预测方法研究[J]. 长江信息通信, 2024, 37(2): 90-92.
- [2] 罗永华,王敏竹,宁芊.基于时空融合的网络流量预测模型研究[J]. 现代计算机, 2023, 29(6):60-65.
- [3] 熊志华. 基于大数据分析的灌区配水渠道流量预测分析研究 [J]. 陕西水利, 2024(4): 90-91.
- [4] 王波,卫培培.基于蚁群算法的通信网络流量分析[J]. 长江信息通信,2023,36(3):103-106.
- [5] 林尚静, 马冀, 李月颖, 等. 基于个性化联邦学习的无线通信流量预测[J]. 电子科技大学学报, 2023, 52(1):64-73.
- [6] 高跃衡, 张艳, 石尚轩, 等. 基于双向门控循环单元的通信基站流量预测研究[J]. 软件导刊, 2022, 21(6): 176-182.
- [7] 林尚静, 马冀, 庄琲, 等. 基于联邦学习的无线通信流量预测 [J]. 计算机应用, 2023, 43(6): 1900-1909.
- [8] 赵巍. 基于改进长短时记忆神经网络的 5G 通信网络流量 预测 [J]. 沈阳工业大学学报, 2022, 44(6): 672-676.
- [9] 惠聪. 基于流量预测的 5G 通信网络资源分配方法 [J]. 信息技术, 2023(7): 71-76.
- [10] 李兵 . 基于改进 BPNN 的 5G 通信网络流量预测 [J]. 通信电源技术 , 2024, 41(1):203-205.

## 【作者简介】

崔健(1994—),男,山东曹县人,本科,助教,研究方向: 数字媒体。

张梦榛(1996—),女,河南郑州人,硕士,助教,研究方向:人工智能。

(收稿日期: 2025-03-04 修回日期: 2025-06-10)